

岩屑・粒状体の重力流動に関する基礎研究

鳥取大学 正員。藤村 尚
鳥取大学 正員。木山英郎

1. はじめに

ビン、サイロ、ホッパー等の容器状構造物内に充てんされた物質によって生じる圧力は、流動開始とともに静止堆積圧よりもかなり大きな動的過圧力になり、構造物に被害をもたらしている。著者らは、このような構造物に作用する局所的な過圧について研究を進めている。

本報告では、容器内の特殊な条件に対応できるリングせん断試験機を試作し、砂のせん断特性に関して、速度ならびに履歴も含めた応力条件との関連での特性値について述べる。

2. 実験方法

試験に用いた試料土は鳥取市賀露産の砂で、その物性は比重 2.60、均等係数 2.35、最大間隔比 0.83、最小間隔比 0.54 である。

容器状構造物内の特殊な条件に対応できるよう試作したリングせん断試験機の概略は図-1に示す。せん断容器は内径 30 cm、外径 48 cm、高さ 8 cm の円環状である。内外側面は上下に分割したアクリル円管を用いた。上板には厚さ 3 mm、高さ 25 mm の突起板を 8 枚埋め込み、試料と上板のかみ合せをよくした。垂直荷重は上板の自重とし、下レバーで載荷する。せん断時の砂のダイレイタンシを許す機構として、軸棒に沿って 3 組のベアリングを設けた。せん断力の測定は、ギヤーと連絡した下板を回転させ、試料のせん断力を軸棒に貼付したゲージからトルクを求めた。

試料の準備は、乾燥砂を高さ 0.5 cm から自然落下せしめて、初期間隔比 0.76 ~ 0.80 とするゆる埋め状態にした。回転速度は 1° ~ 60°/min とするひずみ制御方式である。また、垂直応力は約 10 ~ 100 gf/cm² とする低応力レベルである。

3. 結果・考察

回転速度の影響

まず、一定垂直応力、回転速度 1°/min のせん断試験から開始する。つぎに、前期の回転速度 60°/min まで増加し、その間のせん断応力と垂直変位を測定した。このようにして得られた回転速度 (ν)、せん断応力 (τ)、垂直変位 (Δh) と経過時間 (t) の関係を図-2 に示す。

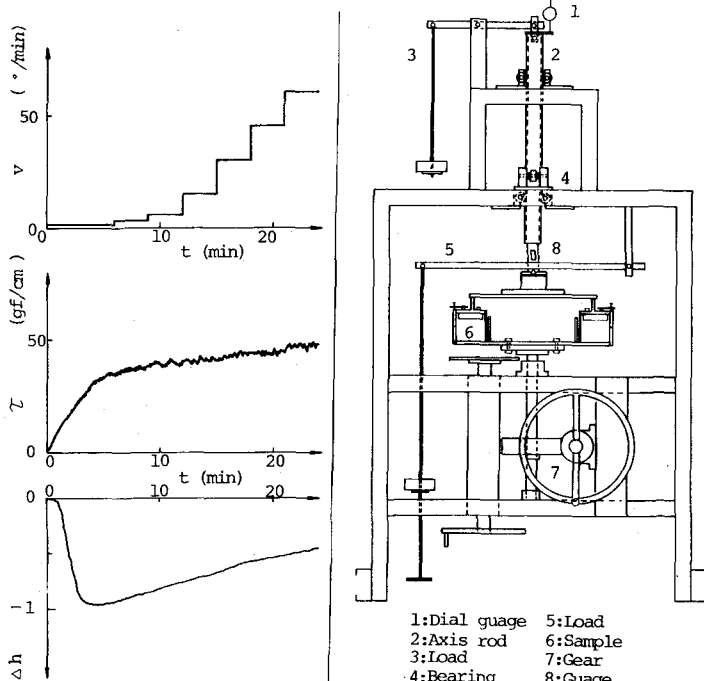


図-2 一定応力試験

図-1 装置の概略図

また、一定垂直応力 $19.7 \sim 88.2 \text{ gf/cm}^2$ におけるせん断応力と回転速度の関係を図示すると図-3のようになり、せん断応力は回転速度の増加とともに大きくなる。そのうち、回転速度が $1^\circ/\text{min}$

から $3^\circ/\text{min}$ に移るところでせん断強度增加が大きく、 $3^\circ/\text{min}$ から $60^\circ/\text{min}$ の回転速度範囲については、速度増分に対するせん断強度の増加は小さい。なお、高回転速度 $60^\circ/\text{min}$ 附近ではせん断強度の値が若干ばらついているので、さらに検討が必要であろう。

図-4はゆるぎめ状態において、速度がせん断強度定数に及ぼす影響について示したものである。同図によれば、速度増加は強度定数 C および σ_0 を増加せしめている。なお、ここで得られた強度定数 C の大きさは、乾燥砂の C の値として少し大きいように思われる。

応力履歴

回転速度 $60^\circ/\text{min}$ の多段階応力試験結果を用いて、応力履歴について調べる。

図-5は、ゆるぎめ状態における回転速度、垂直応力、せん断応力、および垂直変位と経過時間の関係を示す。さらに、せん断応力と試験開始時の垂直応力を $10 \sim 20 \text{ gf/cm}^2$ とした応力条件との関係を図-6に示す。同図によれば、応力履歴の影響が現われ、垂直応力増加時のせん断応力は減少時のせん断応力に較べて小さいことがわかる。これらのこととは、垂直応力増加時の垂直変位の膨張量が応力減少時のものより大きく表われていることと関係しているようと思われる。

また、低回転速度 $1^\circ/\text{min}$ での応力履歴と今回得られた高回転速度での試験結果が著しく異なっていることが知れた。さらに、 $\sigma_0 = 20 \text{ gf/cm}^2$ 以下の低垂直応力下でのせん断試験として一応の成果が得られたものと思われる。

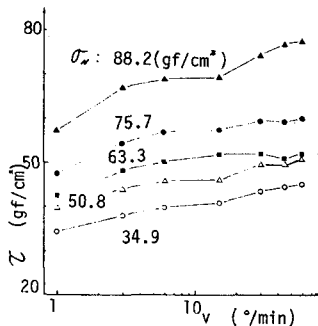


図-3 $\tau - \gamma$

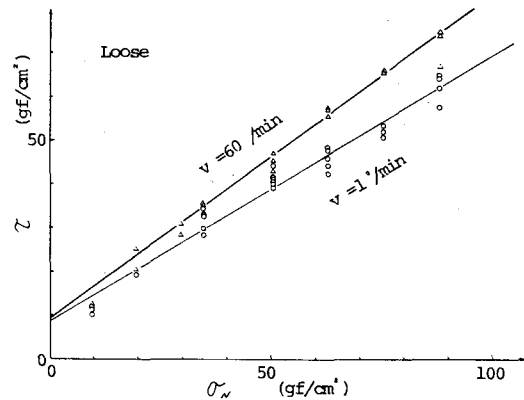


図-4 $\tau - \sigma_0$

3 $^\circ/\text{min}$ から $60^\circ/\text{min}$ の回転速度範囲については、速度増分に対するせん断強度の増加は小さい。なお、高回転速度 $60^\circ/\text{min}$ 附近ではせん断強度の値が若干ばらついているので、さらに検討が必要であろう。

図-4はゆるぎめ状態において、速度がせん断強度定数に及ぼす影響について示したものである。同図によれば、速度増加は強度定数 C および σ_0 を増加せしめている。なお、ここで得られた強度定数 C の大きさは、乾燥砂の C の値として少し大きいように思われる。

応力履歴

回転速度 $60^\circ/\text{min}$ の多段階応力試験結果を用いて、応力履歴について調べる。

図-5は、ゆるぎめ状態における回転速度、垂直応力、せん断応力、および垂直変位と経過時間の関係を示す。さらに、せん断応力と試験開始時の垂直応力を $10 \sim 20 \text{ gf/cm}^2$ とした応力条件との関係を図-6に示す。同図によれば、応力履歴の影響が現われ、垂直応力増加時のせん断応力は減少時のせん断応力に較べて小さいことがある。これらのこととは、垂直応力増加時の垂直変位の膨張量が応力減少時のものより大きく表われていることと関係しているようと思われる。

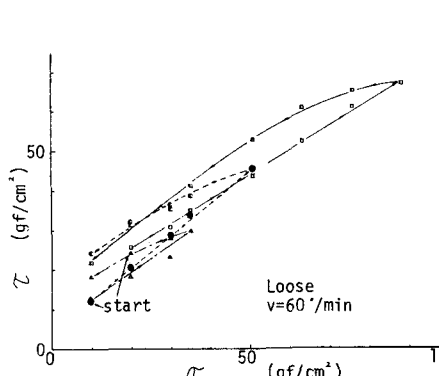


図-6 $\tau - \sigma_0$

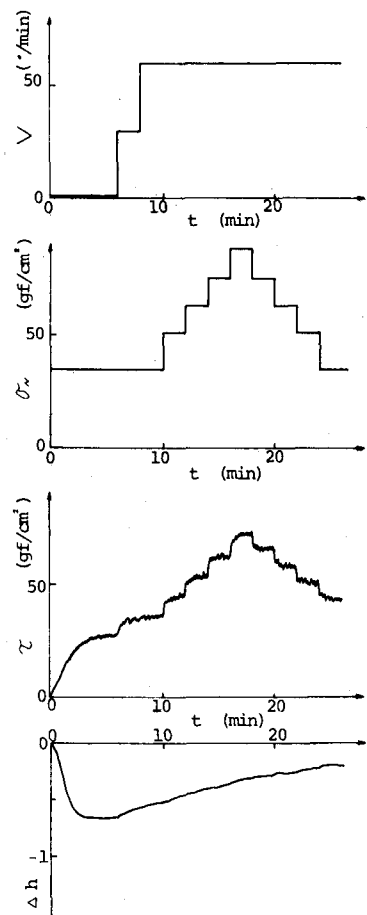


図-5 多段階応力試験